

I-B 157 梁柱部接合方法のPC覆工の衝撃挙動への影響

室蘭工業大学 学生員 山内 昌昭
 室蘭工業大学 正員 岸 徳光
 開発土木研究所 正員 西 弘明
 日本建設 C. 正員 角掛 久雄

1.はじめに

PC製落石覆工（PC覆工）は逆L型ラーメン構造として設置するのが一般的であり、柱と底版、梁と側壁の結合はヒンジ結合を仮定しており、実際上もほぼヒンジ構造として機能しているものと考えられる。一方、梁一柱の接合部は、剛結を仮定し、梁一柱一体構造になることが期待されている。しかしながら、著者らの逆L型実規模PC覆工を用いた衝撃実験結果によれば、必ずしもこの接合部が剛結とはならないことが示されている。

本研究は、逆L型PC覆工の梁一柱接合部の接合方法の力学的挙動特性への影響を検討するために、実規模逆L型PC覆工模型を用いた重錘落下衝撃実験結果を基に三次元衝撃解析用汎用コードであるLS-DYNA3Dを用いて数値解析的に検討を行ったものである。

2. 解析仮定

本研究で対象とした構造物は、図-1に示すような実規模PC覆工模型である。このPC覆工は、5本の主桁より構成され、梁一柱はPC鋼棒を用いて接合されている。本研究では、この接合方法が覆工の断面力分布に与える影響を実験結果と比較する形で解析的に検討するものである。

2.1. 構造のモデル化

本研究では、載荷を、中央桁である3桁に限定することとし、三層緩衝構造と敷砂単層を用いた2つのケースについて梁一柱接合部の接触面の条件、PC鋼棒の付着条件を変化させ解析を行うこととした。表-1には本研究で設定した3ケースの接合部の条件を一覧にして示している。要素分割は、横縫め有りの場合には、構造系の対称性により覆工構造全体の1/2の2.5体の各PC桁を一体構造とし解析を行い、また横縫め無しの状態に対しては1体のPC桁のみを解析の対象としている。解析は弾性体と仮定して全て三次元固体要素を用いて行った。図-2には解析に用いた1組の主桁と柱の要素分割状態を示している。

入力荷重は、実験結果で得られた最大伝達衝撃力を覆工頂版上に直接作用させ、三層緩衝構造を用いる場合は、衝撃力が緩衝構造設置領域(4m×4m)に均等に分散分布しているものと仮定し、また、敷砂単層を用いる場合は実験結果に基づき分布幅を1mとして伝達衝撃力分布を用いて入力することとした。図-3には解析に用いた各緩衝構造を用いる場合の衝撃力波形及び衝撃荷重の分布状況を示している。解析に用いた各材料定数は、コンクリートは弾性係数 $E_c = 3.5 \times 10^5 \text{ kgf/cm}^2$ 、ポアソン比 $\nu_c = 0.2$ 、質量 $\rho_c = 2.5 \text{ g/cm}^3$ とし、PC鋼棒は弾性係数 $E_s = 2.1 \times 10^6 \text{ kgf/cm}^2$ 、ポアソン比 $\nu_s = 0.3$ 、質量 $\rho_s = 7.85 \text{ g/cm}^3$ とした。

3. 解析結果

3.1. 断面力分布

図-4は全体模型の接合部に各解析ケースを適用した場合の載荷桁である3桁の曲げモーメント分布について、解

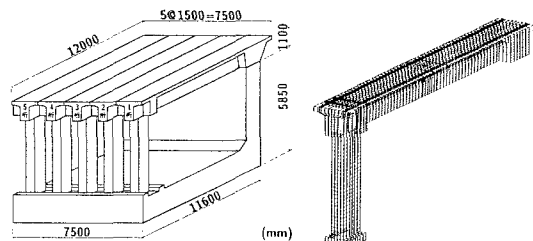
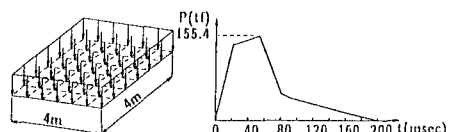


図-1 実規模PC覆工断面図

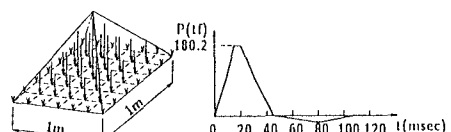
図-2 要素分割図

表-1 解析ケース

解析 ケース	接触面 の状態	PC鋼棒	
		梁部	柱部
アンボンド接合	無付着	アンボンド	アンボンド
ボンド接合	無付着	ボンド	ボンド
剛結接合	完全付着	ボンド	ボンド



(a) 三層緩衝構造を緩衝材として用いた場合



(b) 敷砂単層を緩衝材として用いた場合

図-3 衝撃力波形及び衝撃荷重の分布状況

析結果を実験結果と比較して示している。図より、三層緩衝構造の場合は、主桁中央部でアンボンド接合、ボンド接合、剛結接合の順に小さな値となっている。ボンド接合の場合は剛結接合を仮定する場合の応答結果に近い分布性状を示している。これより PC 鋼棒をボンドタイプにすることにより、アンボンドタイプよりも曲げモーメントを柱部に伝達できることが明らかになった。

敷砂単層の場合には、載荷点近傍に衝撃荷重が集中し、直線的な分布を示している。中央点では、接合方法による差が現れず、各ケースとも類似した分布性状を示している。いずれも実測による曲げモーメントとアンボンド接合を仮定する場合の解析結果が最も良く近似しており、アンボンド接合仮定の解析は実験をよく再現しているものと考えられる。

3.2. 衝撃荷重と静的荷重との比較

図-5には各接合方法（横縫め有りの衝撃荷重、静的荷重載荷時及び横縫め無しの静的荷重載荷時）を用いた場合の戻り筋の曲げモーメント分布について比較して示している。図より、三層緩衝構造の場合は、曲げモーメントの大きさは異なるものの、衝撃荷重、静的荷重載荷時とも類似のなめらかな分布性状を示していることがわかる。主桁中央点及び柱接合部近傍では、横縫め無しの静解荷重、横縫め有りの衝撃荷重、静的荷重の順に小さな値を示している。アンボンド接合で横縫め無しの静載荷時の解析結果が、実験結果と良く対応していることがわかる。

敷砂単層の場合には、横縫め有りにおける両解析結果はいずれの接合方法に対しても類似の分布性状を示していることがわかる。一方、横縫め無しの場合にはており、顕著な横縫め効果を確認することができる。

4. まとめ

本検討結果を整理すると、

- 1) アンボンド接合を仮定する場合の解析結果は実測値と良く対応している。
 - 2) ボンドタイプの PC 鋼棒を用いることより、接合部の剛結度を改善できる。
 - 3) 剛結接合は最も効率よく梁の曲げモーメントを柱部に伝達させることができる。
 - 4) 敷砂単層を用いる場合には、横縫めによって荷重分担率を改善することができる。分担率を 0.5 とした横縫め無しの静的載荷よって、横縫め有りの衝撃荷重載荷時の各 PC 枠の断面力が評価可能である。

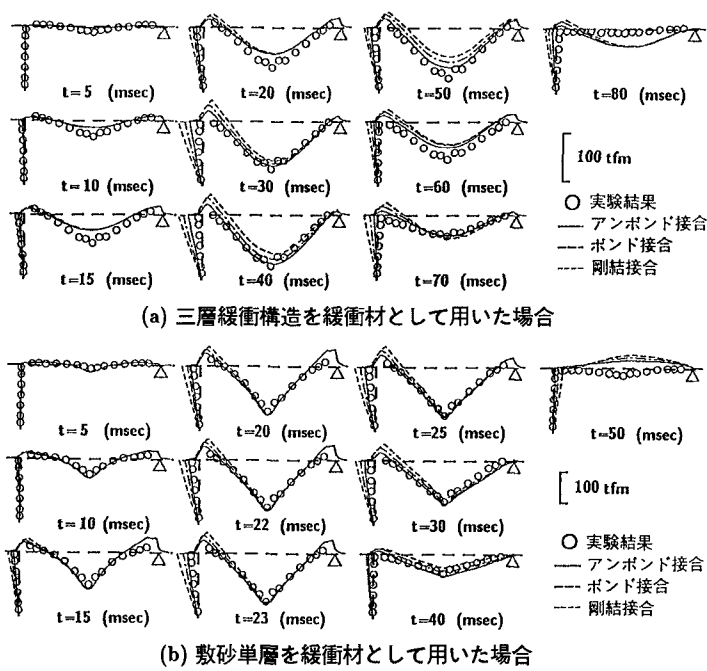


図-4 3 桁曲げモーメント分布に関する比較図

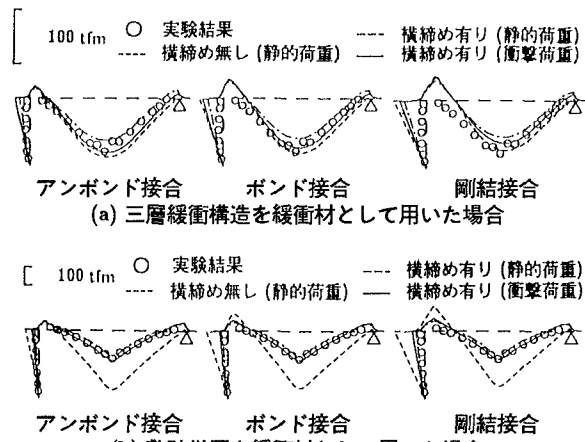


図-5 各接合方法を用いた場合の載荷桁曲げモーメント分布についての比較